

ЛАБОРАТОРНАЯ РАБОТА № 3
Моделирование различных форм резервуаров с
жидкостью

Вариант 11
Машуров Владимир БПМ-19-3

10 декабря 2021 г.

Содержание

1	Простой цилиндрический резервуар с жидкостью	1
2	Резервуар формы усеченного конуса	3
3	Резервуар сферической формы	5
4	Флотационная машина	7

1 Простой цилиндрический резервуар с жидкостью

Обратим внимание на рисунок 1, там приведёт пример рассматриваемого резервуара с жидкостью или пульпой.

V – объём жидкости;

S – площадь поверхности жидкости;

Q_1, Q_2 – объёмные расходы жидкости;

F – площадь проходного отверстия сливной трубы. Расход Q_2 принимается в качестве управляющего воздействия.

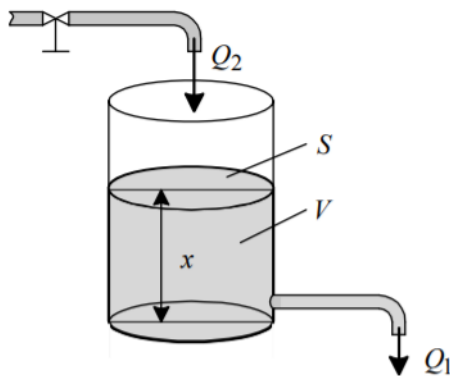


Рис. 1: Простой цилиндрический резервуар с жидкостью

Запишем уравнение материального баланса жидкости для данного резервуара:

$$\Delta V + Q_1 \cdot \Delta t = Q_2 \Delta t$$

Предположим, что $\Delta t \rightarrow 0$ и $\Delta V \rightarrow 0$, тогда разделим на Δt и получим:

$$\dot{V} + Q_1 = Q_2;$$

Объём жидкости V выражается через её уровень x : $V = S \cdot x$. Найдём изменение объёма жидкости: $\dot{V} = S \cdot \dot{x}$. Далее, зависимость между объёмным расходом Q_1 и уровнем x вытекает из уравнения Д. Бернулли (Bernoulli), получим:

$$\frac{\rho \cdot v_0^2}{2} + \rho \cdot g \cdot x + P_1 = \frac{\rho \cdot v^2}{2} + \rho \cdot g \cdot x_0 + p_2$$

где v – скорость истечения жидкости из сливного отверстия; v_0 – скорость изменения уровня жидкости в резервуаре; $x_0 - x$ – перепад высот жидкости в резервуаре; p_1, p_2 – статические давления над жидкостью в резервуаре и за сливным отверстием; ρ – плотность

жидкости; g – ускорение свободного падения. Величина $\frac{\rho v^2}{2}$ называется динамическим или скоростным давлением. Это уравнение можно переписать в виде

$$\frac{v^2 - v_0^2}{2 \cdot g} = \frac{p_1 - p_2}{\gamma} + (x - x_o)$$

где $\gamma = \rho g$ – удельный вес.

В предположении, что $v_0 \gg v$, $x_0 - x$, $p_1 = p_2$, скорость истечения жидкости будет определяться выражением $v = \sqrt{2gx}$. При умножении левой и правой частей этого выражения на площадь проходного сечения F , получается:

$$Fv = Q_1 = F\sqrt{2gx}$$

С помощью поправочного коэффициента μ , чаще всего определяемого экспериментально, может быть учтена форма и состояние поверхности сливного отверстия. Например, для отсадочной машины рекомендуется значение $\mu = 0.6$.

$$Q_1 = \mu F\sqrt{2gx}$$

Найденное выражение подставляется в ДУ изменения объёма жидкости:

$$S \frac{\partial x}{\partial t} + \mu F\sqrt{2gx} = Q_2$$

При $\frac{\partial x}{\partial t} = 0$ можно записать уравнение статического (стационарного) режима резервуара:

$$\mu F\sqrt{2gx} = Q_2$$

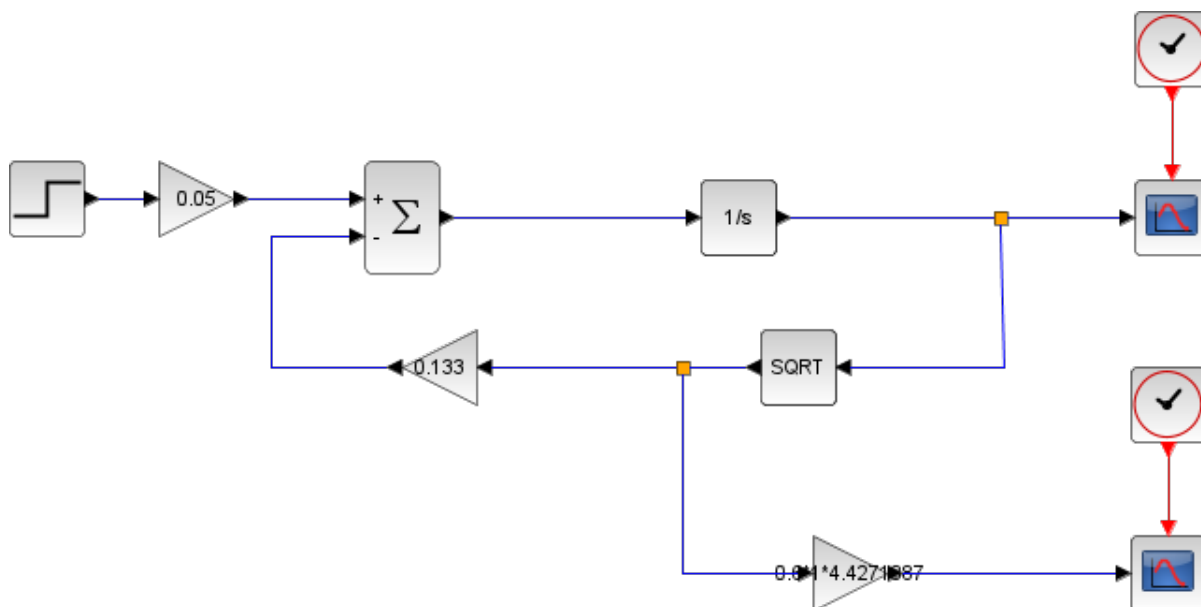


Рис. 2: Структурная схема моделирования простого цилиндрического резервуара с жидкостью

Приняв: $S = 2 \text{ m}^2$; $\mu = 0.6$; $F = 1 \text{ m}^2$; $g = 9.8 \frac{\text{m}}{\text{s}^2}$

На рисунке 2 приведена схема моделирования процессов, протекающих в простом цилиндрическом резервуаре. На рисунке 3 приведены графики, полученные при моделировании.

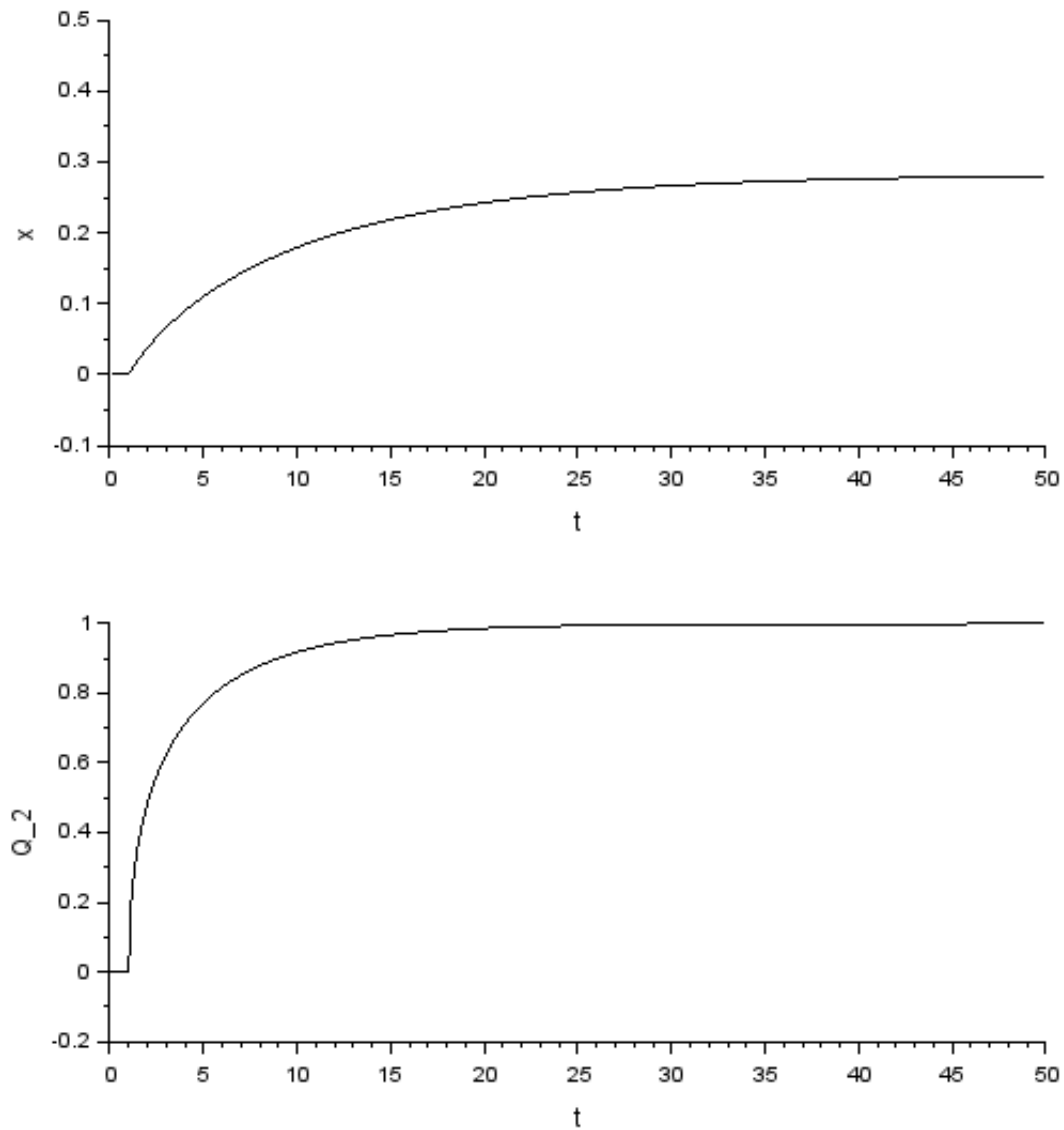


Рис. 3: Графики изменения уровня (сверху) жидкости/пульпы в простом цилиндрическом резервуаре и объема расхода жидкости (снизу), поступающей в резервуар

2 Резервуар формы усеченного конуса

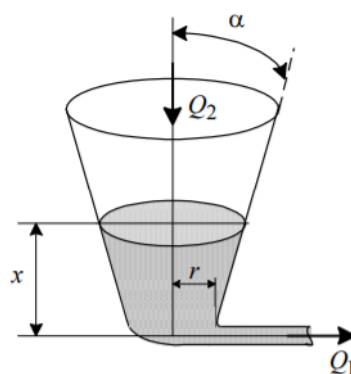


Рис. 4: Резервуар формы усеченного конуса с жидкостью

Обратим внимание на рисунок 4, там приведёт пример рассматриваемого резервуара с жидкостью или пульпой.

α – угол стенки конуса относительно основания;

S – площадь поверхности жидкости;

Q_1, Q_2 – объёмные расходы жидкости;

r – радиус окружности сечения конуса параллельной основанию;

x – высота уровня жидкости

F – площадь проходного отверстия сливной трубы. Расход Q_2 принимается в качестве управляющего воздействия;

Уравнение площади поверхности жидкости при достижении ею определенного уровня:

$$S(x) = \pi(R^2 + 2 \cdot R \cdot \tan \alpha + (\tan \alpha)^2 \cdot x^2)$$

Дифференциальное уравнение процесса:

$$\frac{dx}{dt} = \frac{Q_2}{\pi(r^2 + 2r \operatorname{tg} \alpha x + \operatorname{tg}^2 \alpha x^2)} - \frac{\mu F \sqrt{2gx}}{\pi(r^2 + 2r \operatorname{tg} \alpha x + \operatorname{tg}^2 \alpha x^2)}$$

Приняв: $R = 2 \text{ м}^2$; $\mu = 0.6$; $F = 5 \text{ м}^2$; $g = 9.8 \frac{\text{м}}{\text{с}^2}$; $Q_2 = 5 \frac{\text{м}^3}{\text{с}}$; $\alpha = 45^\circ$

На рисунке 5 приведена схема моделирования процессов, протекающих в коническом резервуаре. На рисунке 6 приведены графики, полученные при моделировании.

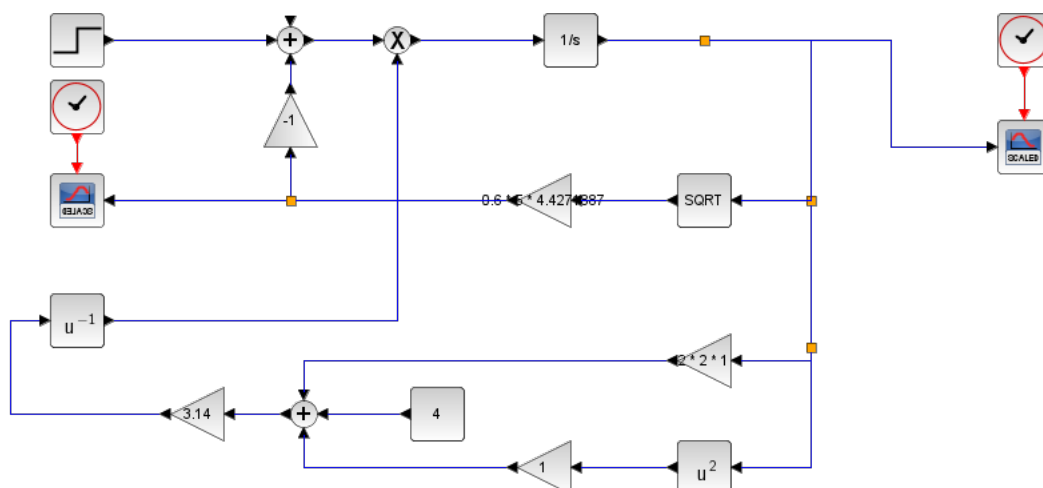


Рис. 5: Структурная схема моделирования конического резервуара с жидкостью

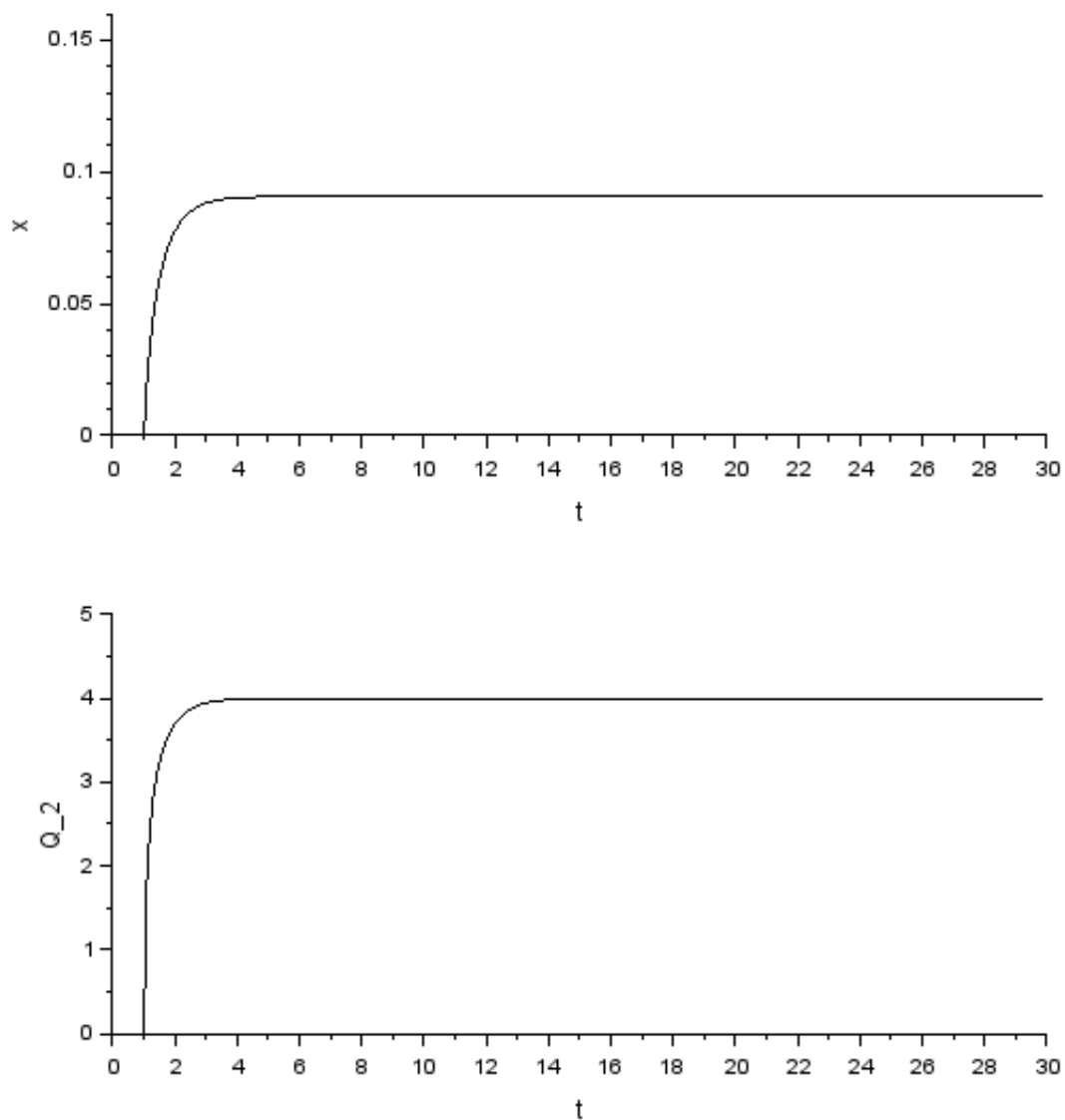


Рис. 6: Графики изменения уровня (сверху) жидкости/пульпы в коническом резервуаре и объема расхода жидкости (снизу), поступающей в резервуар

3 Резервуар сферической формы

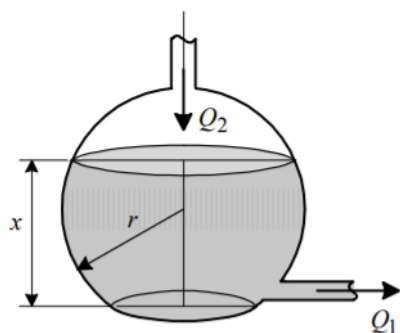


Рис. 7: Резервуар сферической формы

Обратим внимание на рисунок 7, там приведёт пример рассматриваемого резервуара

с жидкостью или пульпой.

S – площадь поверхности жидкости;

Q_1, Q_2 – объёмные расходы жидкости;

r – радиус сферы;

x – высота уровня жидкости;

F – площадь проходного отверстия сливной трубы. Расход Q_2 принимается в качестве управляющего воздействия.

Уравнение площади поверхности жидкости при достижении ею определенного уровня:

$$S = S(x) = \pi(2 * r * x - x^2)$$

Дифференциальное уравнение процесса:

$$\frac{dx}{dt} = \frac{Q_2}{\pi(2rx - x^2)} - \frac{\mu F \sqrt{2gx}}{\pi(2rx - x^2)}$$

Приняв: $R = 2 \text{ м}^2$; $\mu = 0.6$; $F = 1 \text{ м}^2$; $g = 9.8 \frac{\text{м}}{\text{с}^2}$; $Q_2 = 5 \frac{\text{м}^3}{\text{с}}$;

На рисунке 8 приведена схема моделирования процессов, протекающих в сферическом резервуаре. На рисунке 9 приведены графики, полученные при моделировании.

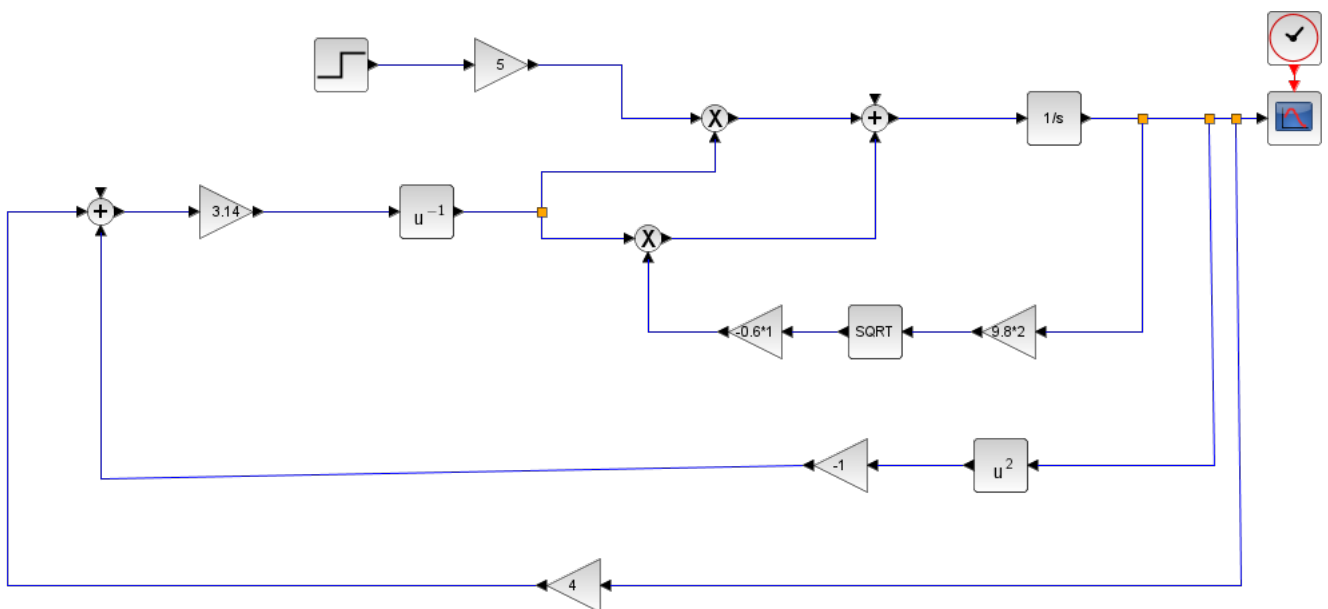


Рис. 8: Структурная схема моделирования сферического резервуара с жидкостью

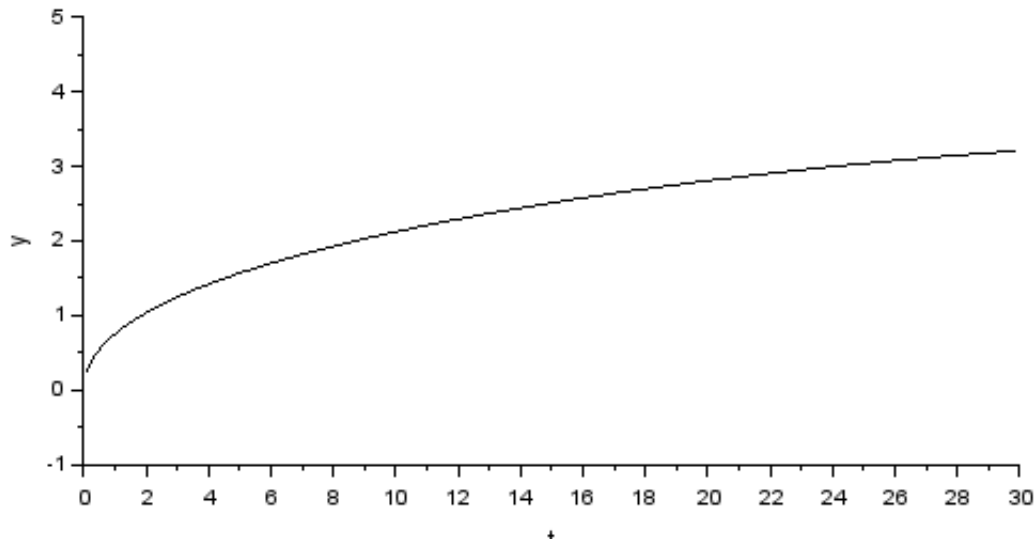


Рис. 9: Графики изменения уровня жидкости/пульпы в сферическом резервуаре

4 Флотационная машина

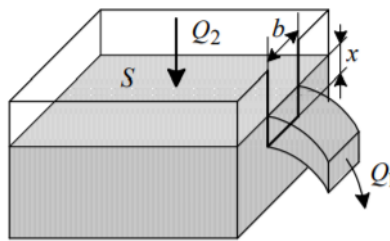


Рис. 10: Флотационная машина

Обратим внимание на рисунок 10, там приведёт пример флотационной¹ машины.

Истечение жидкости происходит в соответствии с нелинейным ДУ:

$$S\dot{x} + \left(0.465 + \frac{0.003}{x}\right) b\sqrt{2gx} \cdot x = Q_2$$

Статическая зависимость (нагрузочная характеристика) :

$$\frac{dx}{dt} = \frac{Q_2}{S} - \frac{0.465bx\sqrt{2gx}}{S} - \frac{0.003b\sqrt{2gx}}{S}$$

Характеризует физический закон слива жидкости через порог. Здесь зависимость расхода жидкости Q_1 от её уровня x приводится в виде эмпирической формулы.

S – площадь поверхности жидкости;

Q_1 , Q_2 – объёмные расходы жидкости;

x – высота уровня жидкости;

b – ширина сливного отверстия;

¹Флотация – способ обогащения полезных ископаемых, основанный на различной смачиваемости водой поверхности частиц, особенно после обработки флотационными реагентами

F – площадь проходного отверстия сливной трубы. Расход Q_2 принимается в качестве управляющего воздействия;

Приняв: $S = 50 \text{ m}^2$; $b = 5 \text{ m}$; $F = 1 \text{ m}^2$; $g = 9.8 \frac{\text{m}}{\text{s}^2}$; $Q_2 = 5 \frac{\text{m}^3}{\text{s}}$;

На рисунке 11 представлена схема моделирования процесса, а на рисунке 12 – графики, полученные в результате моделирования.

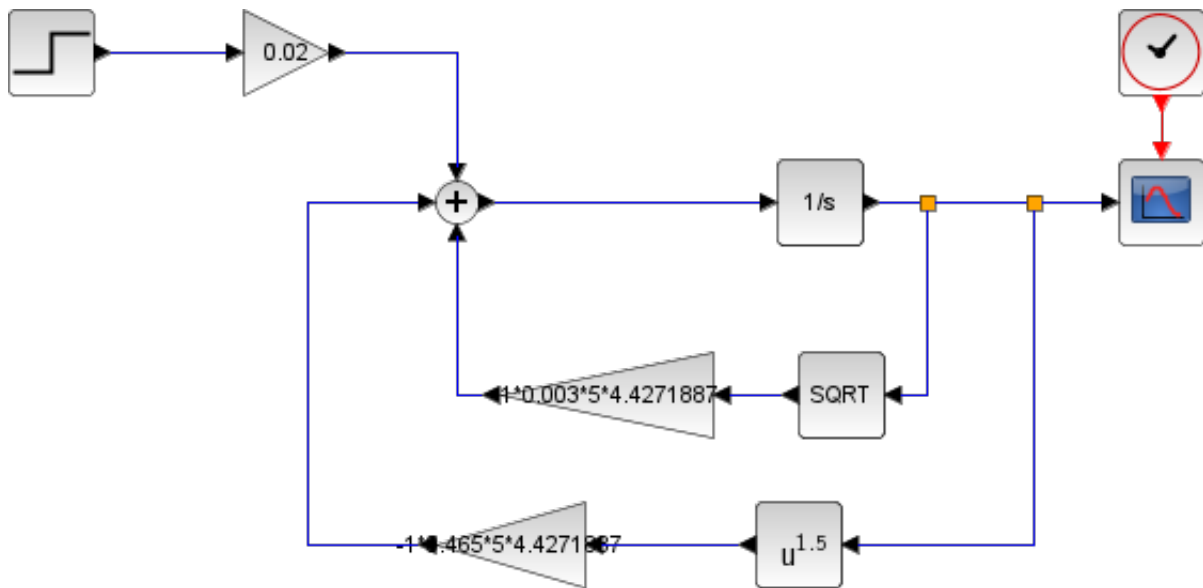


Рис. 11: Структурная схема моделирования флотационной машины

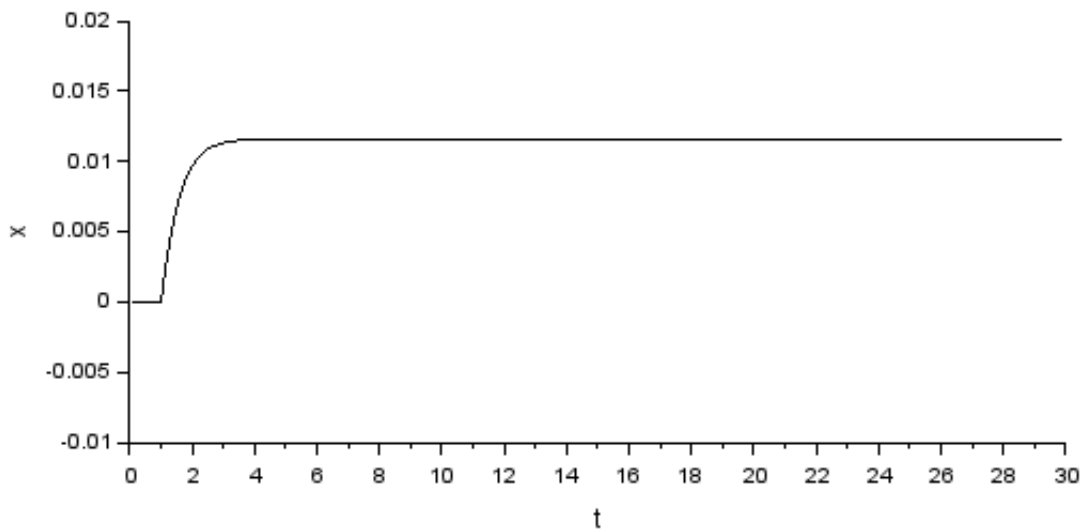


Рис. 12: Графики изменения уровня жидкости/пульпы в флотационной машине